

Электронный дополнительный материал

УДК 66.061.34; 577.19

ОПТИМИЗАЦИЯ УЛЬТРАЗВУКОВОЙ ЭКСТРАКЦИИ ВОДОРАСТВОРИМЫХ УГЛЕВОДОВ ИЗ ПЛОДОВ *FRAGARIA* × *ANANASSA* (DUCHESNE EX WESTON) DUCHESNE EX ROZIER, КУЛЬТИВИРУЕМОЙ НА ТЕРРИТОРИИ КОЛЬСКОГО ПОЛУОСТРОВА*

© М.А. Ярцева¹, Л.Н. Серeda², Л.А. Иванова¹, М.В. Слуковская³, Н.С. Цветов^{2**}

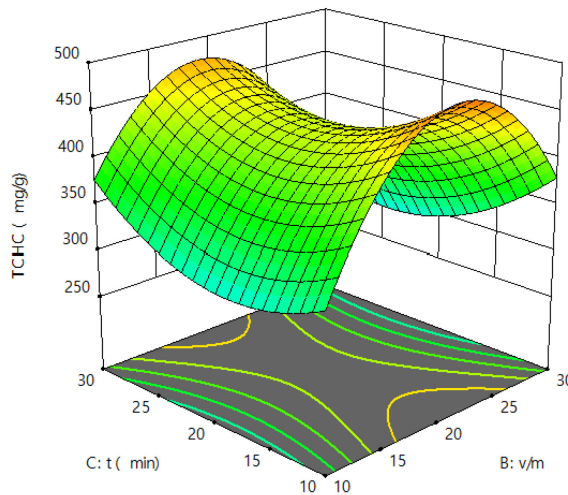
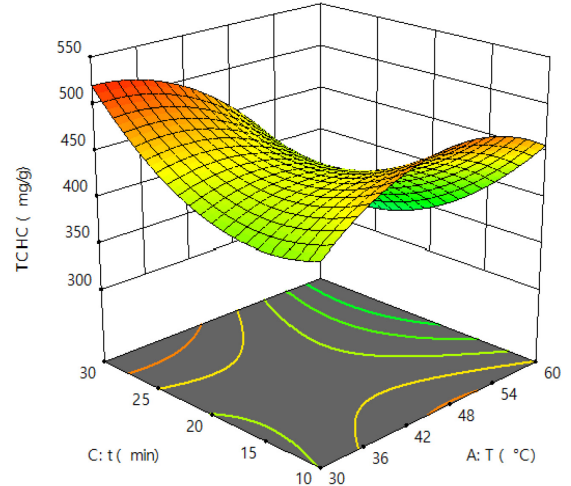
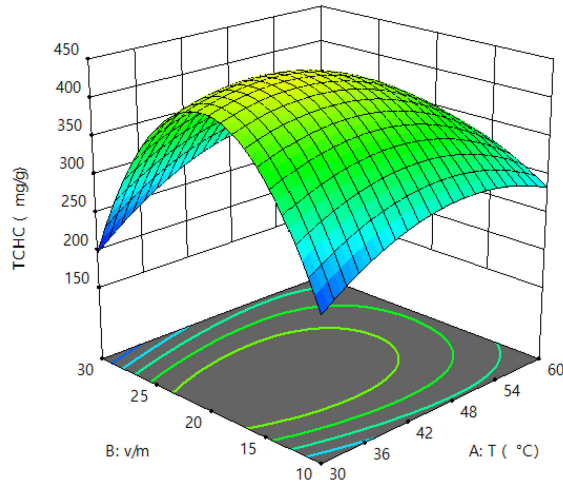
¹ Полярно-альпийский ботанический сад-институт им. Н.А. Аврорина,
ФИЦ «Кольский научный центр» РАН, мкр. Академгородок, 18, Апатиты,
184209, Россия

² Научный центр медико-биологических исследований адаптации человека
в Арктике ФИЦ «Кольский Научный Центр» РАН, мкр. Академгородок, 41а,
Апатиты, 184209, Россия, tsvet.nik@mail.ru

³ Лаборатория природоподобных технологий и техносферной безопасности
Арктики ФИЦ «Кольский Научный Центр» РАН, ул. Ферсмана, 14, Апатиты,
184209, Россия

* Полный текст статьи опубликован: Ярцева М.А., Серeda Л.Н., Иванова Л.А., Слуковская М.В., Цветов Н.С. Оптимизация ультразвуковой экстракции водорастворимых углеводов из плодов *Fragaria* × *ananassa* (Duchesne ex Weston) Duchesne ex Rozier, культивируемой на территории Кольского полуострова // Химия растительного сырья. 2026. №1. С. 191–199. <https://doi.org/10.14258/jcprm.20260117544>.

** Автор, с которым следует вести переписку.



Поверхности отклика, описывающие зависимости выхода суммы углеводов из плодов растений земляники от температуры (А), соотношения объема растворителя к массе растительного сырья (В) и времени (С)

Параметры дисперсионного анализа для обработки результатов оптимизации условий экстракции суммы водорастворимых углеводов из плодов земляники ананасной сорта «Хибинская красавица» по алгоритму Бокса-Бенкена

Источник вариации	SS	df	MS	F-value	P-value
Model	1.218E+05	10	12180.64	12.67	0.0028
A-T	6120.82	1	6120.82	6.37	0.0451
B-v/m	315.32	1	315.32	0.3280	0.5876
C-t	455.52	1	455.52	0.4738	0.5170
AB	618.58	1	618.58	0.6434	0.4531
AC	12337.73	1	12337.73	12.83	0.0116
BC	3386.52	1	3386.52	3.52	0.1096
A ²	9888.96	1	9888.96	10.29	0.0184
B ²	74048.64	1	74048.64	77.02	0.0001
C ²	9460.12	1	9460.12	9.84	0.0201
AB ²	11755.39	1	11755.39	12.23	0.0129
Residual	5768.28	6	961.38		
Lack of Fit	1268.67	2	634.33	0.5639	0.6085
Pure Error	4499.61	4	1124.90		
Cor Total	1.276E+05	16			